

МИНИСТЕРСТВО ОБРАЗОВАНИЯ И НАУКИ  
РОССИЙСКОЙ ФЕДЕРАЦИИ

Московский физико-технический институт  
(государственный университет)

Факультет общей и прикладной физики  
Институт теоретической физики им. Л. Д. Ландау РАН

Пещеренко Николай Сергеевич

## **Неборновское резонансное рассеяние электронов на точечных примесях в полосе**

010900 – прикладные математика и физика

Выпускная квалификационная работа бакалавра

Научный руководитель –  
д. ф.-м. н.  
Иоселевич Алексей Соломонович

# Оглавление

<b>1</b>	<b>Введение</b>	<b>2</b>
1.1	Постановка задачи . . . . .	2
1.2	План работы . . . . .	2
<b>2</b>	<b>Проводимость в борновском приближении</b>	<b>4</b>
2.1	Вычисление усреднённой функции Грина . . . . .	4
2.2	Расчёт проводимости . . . . .	6
2.3	Вычисление плотности состояний . . . . .	8
<b>3</b>	<b>Рассеяние на примеси в неборновском приближении</b>	<b>12</b>
3.1	Вычисление функции Грина в полосе . . . . .	12
3.2	Перенормировка времени рассеяния . . . . .	14
3.3	Вычисление проводимости . . . . .	15
<b>4</b>	<b>Нерезонансный случай</b>	<b>17</b>
<b>5</b>	<b>Резонансный случай</b>	<b>19</b>
5.1	Аналитические свойства перенормированной амплитуды рассеяния . . . . .	19
5.2	Усреднение сопротивления по положению примеси . . . . .	20
5.3	Аналитические свойства сопротивления . . . . .	22
5.4	Поведение сопротивления вблизи старого резонанса . . . . .	23
5.5	Новый резонанс . . . . .	25
5.6	Анализ случая $p_F D \rightarrow \pi N + 0$ . . . . .	25
5.7	Анализ случая $p_F D \rightarrow \pi N - 0$ . . . . .	27
<b>6</b>	<b>Результаты</b>	<b>29</b>
6.1	$p_F D \rightarrow \pi N + 0$ . . . . .	29
6.2	$p_F D \rightarrow \pi N - 0$ . . . . .	30
<b>A</b>	<b>Усреднение поправки в нерезонансном случае</b>	<b>32</b>
	<b>Список литературы</b>	<b>35</b>

# 1 Введение

## 1.1 Постановка задачи

В данной работе рассматривается рассеивающий потенциал в двумерной полосе с нулевыми граничными условиями. Рассеяние исследуется в друдевском приближении в пределе  $p_F D \gg 1$ , где  $D$ -ширина полосы. Целью данной работы является вычисление сопротивления данной системы.

В такой системе у сопротивления, вычисленного в борновском приближении, будут наблюдаться нефизические особенности – расходимости, связанные с тем, что плотность состояний при прохождении уровня химпотенциала через дно зоны расходится. Как мы увидим, при учёте неборновских поправок исчезнет нефизическая расходимость, но, кроме этого, возникнут новые резонансные явления в сопротивлении.

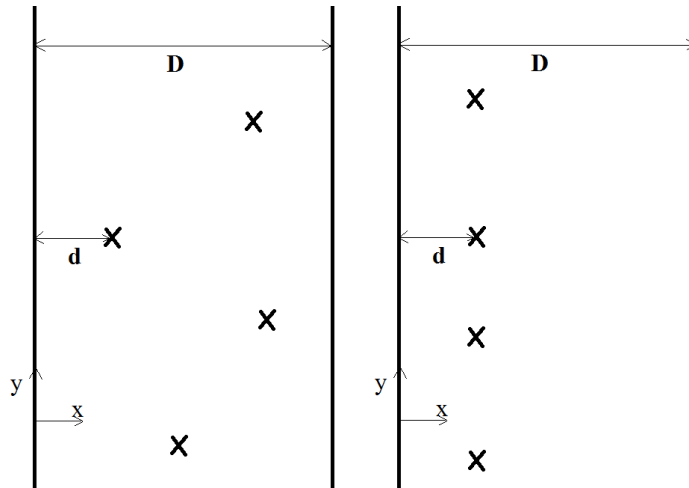


Рис. 1. Исследуемая полоса с примесями. Слева – равномерное распределение положения примесей, справа –  $\delta$ -легирование (все примеси на одном и том же расстоянии от края полосы).

В данной работе будут рассмотрены два случая положения примесей: фиксированное расстояние от границы полосы ( $\delta$ -легирование) и равномерное распределение.

## 1.2 План работы

Работа организована следующим образом:

- в разд. 2 вычислена проводимость в борновском приближении, в частности, выявлено наличие резонансов в сопротивлении;
- в разд. 3 выводится общая формула для проводимости в неборновском приближении;

- в разд. 4 анализируется вклад неборновских поправок в сопротивление вдали от старого резонанса;
- в разд. 5 анализируется поведение сопротивления вблизи старого резонанса;
- в разд. 6 представлены результаты работы.

## 2 Проводимость в борновском приближении

### 2.1 Вычисление усреднённой функции Грина

Рассмотрим рассеивающий потенциал в двумерной полосе, границы которой задаются уравнениями  $x = 0$ ,  $x = D$ :

$$V(r) = u \sum_i \delta(\mathbf{r} - \mathbf{r}_i). \quad (1)$$

Проводимость такой системы можно вычислить при помощи мацубаровской техники по формуле:

$$\sigma(i\omega_n) = \frac{1}{\omega_n} [\Pi(i\omega_n) - \Pi(0)], \quad (2)$$

где  $\Pi$  - петля с операторами тока в вершинах:

$$\langle \Pi_{yy}(i\omega_n) \rangle = e^2 T \sum_{\varepsilon_k} \sum_{\alpha} \langle \alpha | \langle G^M(i\varepsilon_k + i\omega_n) \hat{v}_y G^M(i\varepsilon_k) \hat{v}_y | \alpha \rangle. \quad (3)$$

Угловые скобки означают усреднение по положению примеси с постоянной плотностью вероятности.

Как известно, в случае точечных примесей среднее от произведения функций Грина равно произведению средних, поэтому вычислим усреднённую функцию Грина, пользуясь для этого диагональным представлением  $\hat{G}_0$ :

$$\langle \alpha | \hat{G}_0 | \alpha \rangle = \frac{1}{\varepsilon - \xi_{\alpha} + i0 \operatorname{sgn} \varepsilon}. \quad (4)$$

Здесь  $|\alpha\rangle = |n, k\rangle$  и  $\psi_{\alpha} = \psi_n(x) \frac{e^{iky}}{\sqrt{L_y}}$ , где  $\psi_n(x) = \sqrt{\frac{2}{D}} \sin\left(\frac{\pi n x}{D}\right)$ .

В свою очередь,  $\xi_{\alpha} = \frac{k^2}{2m} + \frac{\pi^2 n^2}{2mD^2} - \mu$ . Первые три члена в ряде для  $G$  имеют вид:

$$\hat{G} \approx \hat{G}_0 + \hat{G}_0 \hat{V} \hat{G}_0 + \hat{G}_0 \hat{V} \hat{G}_0 \hat{V} \hat{G}_0. \quad (5)$$

Вычислим вид первого члена:

$$G^{(1)} = \langle \alpha | \hat{G}_0 \hat{V} \hat{G}_0 | \alpha \rangle = \langle \alpha | \hat{G}_0 | \alpha \rangle^2 \langle \alpha | \hat{V} | \alpha \rangle. \quad (6)$$

Усредняя  $G^{(1)}$  по положению примеси (т.е. выполняя интегрирования  $\Pi_i \int \frac{d^2 r_i}{S}$ ), найдём:

$$\Sigma^{(1)} = u \sum_i \langle \psi_n^2(r_i) L_y^{-1} \rangle = nu. \quad (7)$$

Здесь  $N$  - количество примесей,  $n = N/S$ . Этот член даёт просто сдвиг химпотенциала.

Далее, для второго порядка получаем:

$$G^{(2)} = \langle \alpha | \hat{G}_0 \hat{V} \hat{G}_0 \hat{V} \hat{G}_0 | \alpha \rangle = \sum_{\alpha'} \langle \alpha | \hat{G}_0 | \alpha \rangle^2 \langle \alpha' | \hat{G}_0 | \alpha' \rangle | \langle \alpha | \hat{V} | \alpha' \rangle |^2, \quad (8)$$

$$\Sigma^{(2)} = \sum_{\alpha'} \frac{u^2}{\varepsilon - \xi_{\alpha'} + i0 \operatorname{sgn} \varepsilon} \left| \sum_i e^{i(k' - k)y_i} \psi_n(x_i) \psi_{n'}(x_i) L_y^{-1} \right|^2. \quad (9)$$

Усредним это выражение по положению примесей:

$$\begin{aligned} \sum_{i,j} \left( L_y^{-2} e^{i(k' - k)(y_i - y_j)} \psi_n(x_i) \psi_{n'}(x_i) \psi_n(x_j) \psi_{n'}(x_j) \right) &= L_y^{-2} \sum_{i=j} \psi_n^2(x_i) \psi_{n'}^2(x_i) + \\ &+ L_y^{-2} \sum_{i \neq j} \left( e^{i(k' - k)(y_i - y_j)} \psi_n(x_i) \psi_{n'}(x_i) \psi_n(x_j) \psi_{n'}(x_j) \right). \end{aligned} \quad (10)$$

Выполним усреднение второго слагаемого:

$$L_y^{-2} \sum_{i \neq j} \langle e^{i(k' - k)(y_i - y_j)} \psi_n(x_i) \psi_{n'}(x_i) \psi_n(x_j) \psi_{n'}(x_j) \rangle = L_y^{-2} \delta_{k,k'} \delta_{n,n'} D^{-2} (N^2 - N). \quad (11)$$

Т. о., второе слагаемое не даёт вклада в собственно-энергетическую часть в том смысле, что этот вклад в  $G^{(2)}$  происходит из уже найденной  $\Sigma^{(1)}$ .

Усредним первое слагаемое:

$$\begin{aligned} L_y^{-2} \sum_{i=j} \langle \psi_n^2(x_i) \psi_{n'}^2(x_i) \rangle &= N L_y^{-2} \frac{4}{D^3} \int_0^D dx \sin^2 \left( \frac{\pi n x}{D} \right) \sin^2 \left( \frac{\pi n' x}{D} \right) = \\ &= N D^{-2} L_y^{-2} (1 + \delta_{n,n'} / 2) \end{aligned} \quad (12)$$

Т. о., имеем:

$$\begin{aligned} \Sigma^{(2)} &= \frac{nu^2}{D} \sum_{\alpha'} \frac{1 + \delta_{n,n'} / 2}{\varepsilon - \xi_{\alpha'} + i0 \operatorname{sgn} \varepsilon} = \\ &= \frac{nu^2}{D} \int_{-\infty}^{+\infty} \frac{dk'}{2\pi} \sum_{n'} \frac{1 + \delta_{n,n'} / 2}{\varepsilon - \frac{k'^2}{2m} - \frac{\pi^2 n'^2}{2mD^2} + \mu + i0 \operatorname{sgn} \varepsilon}. \end{aligned} \quad (13)$$

Далее применим формулу Сохоцкого:  $\frac{1}{x+i0} = P \frac{1}{x} - i\pi \delta(x)$  и вычислим  $\operatorname{Im} \Sigma^{(2)}$  ( $\operatorname{Re} \Sigma^{(2)}$ )

даст несущественную поправку второго порядка к химпотенциалу):

$$\begin{aligned} \text{Im}\Sigma^{(2)} = & -\pi \frac{nu^2}{D} \sum_{n'} \int_{-\infty}^{+\infty} \frac{dk'}{2\pi} \delta \left( \varepsilon - \frac{k'^2}{2m} - \frac{\pi^2 n'^2}{2mD^2} + \mu \right) - \\ & - \frac{\pi nu^2}{2D} \int_{-\infty}^{+\infty} \frac{dk'}{2\pi} \frac{1}{\varepsilon - \frac{k'^2}{2m} - \frac{\pi^2 n^2}{2mD^2} + \mu} = -\frac{1}{2\tau}, \end{aligned} \quad (14)$$

$$\frac{1}{2\tau} = n\pi u^2 \nu(\varepsilon). \quad (15)$$

Здесь плотность состояний  $\nu(\varepsilon)$  определяется так:

$$\nu = D^{-1} \sum_n \int \frac{dk}{2\pi} \delta \left( E - \frac{\pi^2 n^2}{2mD^2} - \frac{k^2}{2m} + \mu \right) + \frac{1}{2D} \int \frac{dk}{2\pi} \delta \left( E_F - \frac{\pi^2 n^2}{2mD^2} - \frac{k^2}{2m} + \mu \right). \quad (16)$$

Т. о., было выяснено, что

$$\langle \alpha | \hat{G} | \alpha \rangle = \frac{1}{\varepsilon - \xi_\alpha - nu + \frac{i}{2\tau} \text{sgn} \varepsilon}. \quad (17)$$

## 2.2 Расчёт проводимости

Для нахождения проводимости вычислим  $\langle \Pi_{yy}(i\omega_n) \rangle$  с использованием мацубаровской техники:

$$\langle \Pi_{yy}(i\omega_n) \rangle = e^2 T \sum_{\varepsilon_k} \sum_{\alpha} \langle \alpha | \langle \hat{G}^M(i\varepsilon_k + i\omega_n) \hat{v}_y \hat{G}^M(i\varepsilon_k) \hat{v}_y \rangle | \alpha \rangle. \quad (18)$$

Для точечных примесей можно написать, что:

$$\begin{aligned} \langle \Pi_{yy}(i\omega_n) \rangle = e^2 T \sum_{\varepsilon_k} \sum_{\alpha} \frac{k^2}{m^2} \frac{1}{i\varepsilon_k + i\omega_n - \xi_\alpha - nu + \frac{i}{2\tau} \text{sgn}(\varepsilon_k + \omega_n)} \\ \frac{1}{i\varepsilon_k - \xi_\alpha - nu + \frac{i}{2\tau} \text{sgn}(\varepsilon_k)}. \end{aligned} \quad (19)$$

Вычислим интеграл по  $k$  (он входит в сумму по  $\alpha$ ), вводя обозначения:

$$\tilde{\varepsilon}_k = \varepsilon_k + \omega_n + \frac{1}{2\tau} \text{sgn}(\varepsilon_k + \omega_n),$$

$$\tilde{\varepsilon}_k = \varepsilon_k + \frac{1}{2\tau} \text{sgn} \varepsilon_k,$$

$$\xi'_\alpha = \xi_\alpha - nu.$$

Интеграл тогда примет вид:

$$\int_{-\infty}^{+\infty} \frac{dk}{2\pi} \frac{k^2}{m^2} \frac{1}{(i\tilde{\varepsilon}'_k - \xi'_\alpha)(i\tilde{\varepsilon}_k - \xi'_\alpha)}. \quad (20)$$

Данный интеграл набирается вблизи  $\xi' = 0$  на масштабе  $\delta\xi \approx \max[\omega_n, \tau^{-1}]$ .

Итак, можно выполнить интегрирование по  $\xi$ :

$$\begin{aligned} & \frac{1}{2m\pi} \int_{-\infty}^{+\infty} \frac{d\xi \sqrt{2m(\mu - nu - \frac{\pi^2 n^2}{2mD^2})}}{(i\tilde{\varepsilon}'_k - \xi - \frac{\pi^2 n^2}{2mD^2})(i\tilde{\varepsilon}_k - \xi - \frac{\pi^2 n^2}{2mD^2})} = \\ &= \frac{1}{\sqrt{2m\pi}} \sqrt{\mu - nu - \frac{\pi^2 n^2}{2mD^2}} \int_{-\infty}^{+\infty} \frac{d\xi}{(i\tilde{\varepsilon}'_k - \xi - \frac{\pi^2 n^2}{2mD^2})(i\tilde{\varepsilon}_k - \xi - \frac{\pi^2 n^2}{2mD^2})} = \\ &= \sqrt{\frac{2}{m}} \sqrt{\mu - nu - \frac{\pi^2 n^2}{2mD^2}} \frac{\operatorname{sgn} i\tilde{\varepsilon}'_k - \operatorname{sgn} i\tilde{\varepsilon}_k}{\tilde{\varepsilon}'_k - \tilde{\varepsilon}_k}. \end{aligned} \quad (21)$$

Для дальнейшего продвижения необходимо взять сумму по  $n$ . Введём «транспортную» плотность состояний:

$$\tilde{\nu}(E) = 2D^{-1} \sum_{\alpha} \left(\frac{k}{p}\right)^2 \delta(E_{\alpha} - E)$$

и покажем, что интересующая нас сумма выражается через  $\tilde{\nu}(E)$ :

$$\begin{aligned} \tilde{\nu}(E) &= 2D^{-1} \sum_n \int \frac{dk}{2\pi} \left(\frac{k}{p}\right)^2 \delta\left(E - \frac{\pi^2 n^2}{2mD^2} - \frac{k^2}{2m}\right) = \\ &= 2D^{-1} \sum_n \int_0^{+\infty} \frac{\sqrt{2m}}{2\pi E} \sqrt{\varepsilon} \delta\left(E - \frac{\pi^2 n^2}{2mD^2} - \varepsilon\right) d\varepsilon = \\ &= \frac{D^{-1} \sqrt{2m}}{\pi E} \sum_{n=1}^{n_{\max}} \sqrt{E - \frac{\pi^2 n^2}{2mD^2}} = \frac{D^{-2}}{E} \sum_{n=1}^{n_{\max}} \sqrt{a^2 - n^2}. \end{aligned} \quad (22)$$

Здесь было введено обозначение  $a = \frac{pD}{\pi}$ .

С другой стороны,

$$\begin{aligned} \sqrt{\frac{2}{m}} \sum_n \sqrt{E - \frac{\pi^2 n^2}{2mD^2}} &= \frac{\pi}{mD} \sum_n \sqrt{a^2 - n^2} = \\ &= \frac{\pi ED}{m} \tilde{\nu}(E). \end{aligned} \quad (23)$$

Здесь мы положили  $E = \mu - nu$ .



Т. о., получаем:

$$\langle \Pi_{yy}(i\omega_n) \rangle = e^{2\pi ED} T \sum_{\varepsilon_k} \frac{\operatorname{sgn} \tilde{\varepsilon}_k^* - \operatorname{sgn} \tilde{\varepsilon}_k}{\tilde{\varepsilon}_k^* - \tilde{\varepsilon}_k}. \quad (24)$$

Вычислим оставшуюся сумму:

$$T \sum_{\varepsilon_k} \frac{\operatorname{sgn} \tilde{\varepsilon}_k^* - \operatorname{sgn} \tilde{\varepsilon}_k}{\tilde{\varepsilon}_k^* - \tilde{\varepsilon}_k} = T \sum_{\varepsilon_k} \frac{\operatorname{sgn}(\varepsilon_k + \omega_n) - \operatorname{sgn} \varepsilon_k}{\omega_n + \frac{1}{2\tau} (\operatorname{sgn}(\varepsilon_k + \omega_n) - \operatorname{sgn} \varepsilon_k)} = \frac{1}{\pi} \frac{\omega_n}{\omega_n + \tau^{-1}}. \quad (25)$$

Здесь предполагалось  $\omega_n > 0$ , т. к.  $\sigma$  на действительной частоте будет получена продолжением с верхней полуплоскости.

Т. о., окончательно получаем  $\sigma$  при  $\omega = 0$ :

$$\sigma = \frac{1}{2} e^2 \tau \nu_F^2 \tilde{\nu}(\varepsilon_F) D. \quad (26)$$

### 2.3 Вычисление плотности состояний

В полученную итоговую формулу (26) для проводимости входят две плотности состояний: обычная

$$\nu(\varepsilon) = D^{-1} \sum_{\alpha} \delta(\varepsilon - E_{\alpha})$$

и транспортная

$$\tilde{\nu}(\varepsilon) = D^{-1} \sum_{\alpha} 2 \left( \frac{k}{p} \right)^2 \delta(\varepsilon - E_{\alpha}).$$

Используя формулу суммирования Пуассона:

$$\sum_{m=-\infty}^{\infty} f(m) = \sum_{k=-\infty}^{\infty} \int_{-\infty}^{\infty} f(x) e^{2\pi i k x} dx,$$

вычислим эти плотности состояний:

$$\begin{aligned} \nu_F = \nu(\varepsilon_F) &= D^{-1} \sum_n \int \frac{dk}{2\pi} \delta \left( E_F - \frac{\pi^2 n^2}{2mD^2} - \frac{k^2}{2m} \right) = \\ &= \frac{1}{D\pi} \sqrt{\frac{m}{2}} \sum_n \frac{1}{\sqrt{E - \frac{\pi^2 n^2}{2mD^2}}} = \frac{m}{\pi^2} \sum_{n=1}^{n_{\max}} \frac{1}{\sqrt{a^2 - n^2}} = \\ &= \frac{m}{2\pi^2} \sum_{k=-\infty}^{\infty} \int_{-a}^a \frac{dx}{\sqrt{a^2 - x^2}} e^{2\pi i k x} - \frac{m}{2\pi^2 a} = \\ &= \frac{m}{2\pi^2} \sum_{k=-\infty}^{\infty} \pi J_0(2\pi k a) - \frac{m}{2\pi^2 a} = \frac{m}{2\pi} \left( 1 + 2 \sum_{k=1}^{\infty} J_0(2\pi k a) \right) - \frac{m}{2\pi^2 a}. \end{aligned} \quad (27)$$

Здесь  $a = \frac{p_F D}{\pi} \gg 1$ . Т. о., мы получили, что  $\nu_F = \nu_F^{(0)} (1 + \Delta)$ , где:

$$\Delta = 2 \sum_{k=1}^{\infty} J_0(2\pi ka) - \frac{1}{\pi a}. \quad (28)$$

Вычислим транспортную плотность состояний:

$$\begin{aligned} \tilde{\nu}_F &= 2D^{-1} \sum_n \int \frac{dk}{2\pi} \left( \frac{k}{p_F} \right)^2 \delta \left( E_F - \frac{\pi^2 n^2}{2mD^2} - \frac{k^2}{2m} \right) = \\ &= 2D^{-1} \sum_n \int_0^{+\infty} \frac{\sqrt{2m}}{2\pi\varepsilon_F} \sqrt{\varepsilon} \delta \left( E_F - \frac{\pi^2 n^2}{2mD^2} - \varepsilon \right) d\varepsilon = \\ &= \frac{D^{-1} \sqrt{2m}}{\pi\varepsilon_F} \sum_{n=1}^{n_{\max}} \sqrt{E_F - \frac{\pi^2 n^2}{2mD^2}} = \frac{D^{-2}}{\varepsilon_F} \sum_{n=1}^{n_{\max}} \sqrt{a^2 - n^2} = \\ &= \frac{D^{-2}}{2\varepsilon_F} \sum_{k=-\infty}^{\infty} \int_{-a}^a \sqrt{a^2 - x^2} e^{2\pi i k x} dx - \frac{D^{-2}}{2\varepsilon_F} a = \\ &= \frac{D^{-2}}{2\varepsilon_F} a^2 \sum_{k=-\infty}^{\infty} \int_{-\pi/2}^{\pi/2} \cos^2 t e^{2\pi i k a \sin t} dt - \frac{p_F}{2D\pi\varepsilon_F} = \\ &= \frac{D^{-2}}{2\varepsilon_F} a^2 \pi \sum_{k=-\infty}^{\infty} \left( \int_{-\pi/2}^{\pi/2} dt e^{2\pi i k a \sin t} dt - \right. \\ &\quad \left. - \frac{\partial^2}{\partial(2\pi i k a)^2} \int_{-\pi/2}^{\pi/2} dt e^{2\pi i k a \sin t} dt \right) - \frac{p_F}{2D\pi\varepsilon_F} = \\ &= \frac{p_F^2}{2\pi\varepsilon_F} \sum_{k=-\infty}^{\infty} \frac{J_1(2\pi ka)}{2\pi ka} - \frac{m}{\pi p_F D} = \frac{m}{2\pi} \left( 1 + 4 \sum_{k=1}^{\infty} \frac{J_1(2\pi ka)}{2\pi ka} - \frac{2}{\pi a} \right). \end{aligned} \quad (29)$$

Аналогично,  $\tilde{\nu}_F = \nu_F^{(0)} (1 + \tilde{\Delta})$ , где  $\tilde{\Delta} = 4 \sum_{k=1}^{\infty} \frac{J_1(2\pi ka)}{2\pi ka} - \frac{2}{\pi a}$ .

В дальнейшем мы будем выделять поправки к сопротивлению на фоне усреднённого по беспорядку сопротивления бесконечной плоскости. Поправка имеет вид:

$$\frac{\delta\rho}{\rho} = \frac{1 + \Delta}{1 + \tilde{\Delta}} \approx \Delta - \tilde{\Delta}. \quad (30)$$

Пользуясь асимптотикой функций  $J_0(z) \approx \sqrt{\frac{2}{\pi z}} \cos(z - \frac{\pi}{4})$  и  $J_1(z) \approx \sqrt{\frac{2}{\pi z}} \cos(z - \frac{3\pi}{4})$  при  $z \gg 1$ , находим:

$$\frac{\delta\rho}{\rho} = \frac{2}{\pi\sqrt{a}} \sum_{k=1}^{\infty} \frac{\cos(2\pi ka - \frac{\pi}{4})}{\sqrt{k}} - \frac{2}{\pi^2 a^{3/2}} \sum_{k=1}^{\infty} \frac{\cos(2\pi ka - \frac{3\pi}{4})}{k^{3/2}} + \frac{1}{\pi a}. \quad (31)$$

Легко видеть, что первая сумма расходится при  $a = N$ .

Выясним, по какому закону она расходится. Для этого удобно ввести функцию

$$S(z) = e^{-i\pi/4} \sum_{n=1}^{\infty} \frac{e^{izn}}{\sqrt{n}},$$

через которую первый член в (31) переписывается в виде:  $\frac{2}{\sqrt{\pi p_F D}} \text{Re} S(2p_F D)$ .

Асимптотика функции  $S(z)$  при  $z - 2\pi N = \delta z \ll 1$  имеет вид:

$$S(z) \approx \sqrt{\frac{\pi}{\delta z}}, \delta z > 0;$$

$$S(z) \approx -i \sqrt{\frac{\pi}{|\delta z|}}.$$

Таким образом, находим, что при  $p_F D - \pi N > 0$  имеем корневую расходимость:

$$\frac{\delta \rho}{\rho} \approx \sqrt{\frac{2}{p_F D (p_F D - \pi N)}}. \quad (32)$$

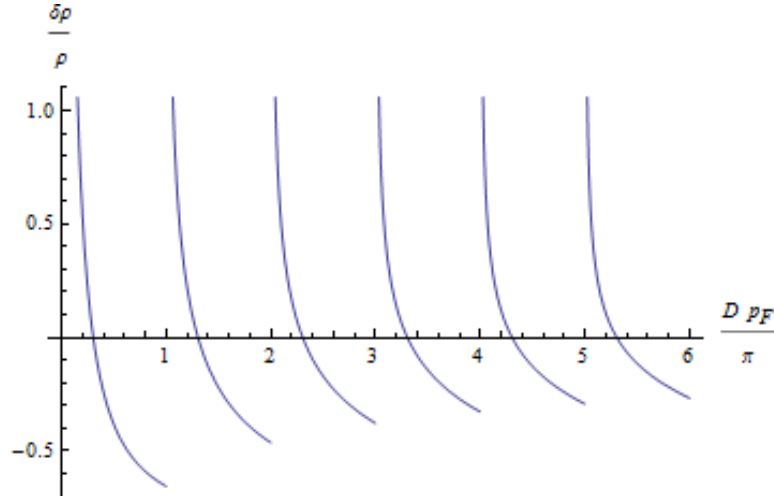


Рис. 2. График зависимости  $\frac{\delta \rho}{\rho}(p_F D)$  в борновском приближении.

При  $p_F D \rightarrow \pi N - 0$  расходимость отсутствует.

Расходимость поправки легко интерпретировать: в борновском приближении  $\rho \sim \nu_F$ . В нашем случае спектр свободного гамильтониана имеет вид  $\frac{\pi^2 n^2}{2mD^2} + \frac{k^2}{2m}$ , т. е. присутствуют одномерные подзоны (нумеруются числом  $n$ ). В таком случае, как известно, плотность состояний расходится корневым образом, т. е. ведёт себя как  $\frac{1}{\sqrt{E - E_n}}$ , где  $E_n$  - положение дна подзоны с номером  $n$ , что и было получено нами для  $\rho$ .

Итак, нами была получена нефизическая расходимость. Попробуем учесть неборновские поправки и выяснить, к каким изменениям в полученной картине они приводят.

### 3 Рассеяние на примеси в неборновском приближении

#### 3.1 Вычисление функции Грина в полосе

Рассмотрим одну примесь  $V(r) = V\delta(\mathbf{r} - \mathbf{r}_0)$ , где  $\mathbf{r}_0 = (d, 0)$ , причём границы полосы всё так же задаются условиями  $x = 0, x = D$ .

Уравнение Дайсона для функции Грина в полосе имеет вид:

$$\widehat{G} = \widehat{G}_0 + \widehat{G}_0 \widehat{V} \widehat{G}. \quad (33)$$

Здесь  $\widehat{G}$  - функция Грина в полосе при наличии примеси,  $\widehat{G}_0$  - функция Грина свободной частицы в полосе.

Переходя к координатному представлению, получим:

$$G(r_0, r) = G_0(r_0, r) + G_0(r_0, r_0)VG(r_0, r). \quad (34)$$

Отсюда легко выражается  $G(r_1, r_2)$ :

$$G(r_0, r) = \frac{G_0(r_0, r)}{1 - G_0(r_0, r_0)V}. \quad (35)$$

Теперь найдём  $G_0(r_0, r)$ : она должна удовлетворять уравнению Шрёдингера

$$(\varepsilon - \widehat{H})G_0(r_1, r_2) = \delta(r_1 - r_2)$$

и обращаться в 0 при  $x = 0$  и  $x = D$ .

Для нахождения функции Грина воспользуемся методом изображений. А именно, попробуем удовлетворить граничному условию при  $x = 0$ , для чего напишем:

$$G(x, x') = G_0(x, x') - G_0(-x, x').$$

Теперь необходимо удовлетворить граничному условию на  $x = D$ :

$$G(x, x') = G_0(x, x') - G_0(-x, x') + G_0(2D + x, x') - G_0(2D - x, x').$$

Но теперь не выполняется условие на границе  $x = 0$ .

Т. о., из метода изображений получается бесконечная сумма для  $G(x, x')$ :

$$\begin{aligned}
G(x, x') &= G_0(x, x') - G_0(-x, x') + G_0(2D + x, x') - G_0(-2D - x, x') + \\
&\quad + G_0(4D + x, x') - G_0(-4D - x, x') + \dots - \\
&- G_0(2D - x, x') + G_0(-2D + x, x') - G_0(4D - x, x') + G_0(-4D + x, x') = \\
&= \sum_{n=0}^{\infty} (G_0(2nD + x, x') - G_0(-2nD - x, x') - \\
&\quad - G_0(2(n+1)D - x, x') + G_0(-2(n+1)D + x, x')). \tag{36}
\end{aligned}$$

Пользуясь трансляционной инвариантностью  $G_0$ , окончательно находим:

$$\begin{aligned}
G(d, d) &= \sum_{n=0}^{\infty} (G_0(2nD) - G_0(2nD + 2d) - \\
&- G_0(2(n+1)D - 2d) + G_0(2(n+1)D)) = G_0(0) - G_0(2d) + 2 \sum_{n=1}^{\infty} G_0(2nD) - \\
&\quad - \sum_{n=1}^{\infty} (G_0(2nD + 2d) + G_0(2nD - 2d)). \tag{37}
\end{aligned}$$

В дальнейшем мы будем использовать обозначение:

$$G(d, d) = G_0(d, d) + iU,$$

где функция  $U$  даётся выражением:

$$U = i \left( G_0(2d) - \sum_{n=1}^{\infty} (2G_0(2nD) - G_0(2nD + 2d) - G_0(2nD - 2d)) \right). \tag{38}$$

Здесь  $G_0(r) = iH_0^{(1)}(p_F r)$  - точная функция Грина на плоскости.

Т. к.  $p_F D \gg 1$ , можно воспользоваться асимптотикой функции Ганкеля:

$$H_0^{(1)}(z) \approx \sqrt{\frac{2}{\pi z}} e^{i(z-\pi/4)} \left( 1 - \frac{i}{8z} - \frac{9}{128z^2} \right) = u(z) e^{i(z-\pi/4)}. \tag{39}$$

Выражение (38) для  $U$  в пределе  $p_F D \gg 1$  принимает вид:

$$\begin{aligned}
U &= \left( -H_0^{(1)}(2p_F d) - H_0^{(1)}(2p_F(D-d)) + \sum_{n=1}^{\infty} (2u(2np_F D) e^{i(2np_F D - \pi/4)} - \right. \\
&\quad \left. - u(2np_F D + 2p_F d) e^{i(2np_F D + 2p_F d - \pi/4)}) - \sum_{n=2}^{\infty} u(2np_F D - 2p_F d) e^{i(2np_F D - 2p_F d - \pi/4)} \right). \tag{40}
\end{aligned}$$

### 3.2 Перенормировка времени рассеяния

Неборновские поправки проявляются в необходимости учесть в выражении для собственно-энергетической части многократное рассеяние на одной и той же примеси.

Т. о., имеем:

$$\Sigma = \sum_d \langle \alpha | \widehat{T} | \alpha \rangle. \quad (41)$$

Здесь  $\widehat{T} = \widehat{V} + \widehat{V}\widehat{G}_0\widehat{V} + \dots$ , а под суммой по  $d$  подразумевается суммирование по всем примесям.

Вычислим  $\text{Im}\Sigma$  (это соответствует перенормировке входящего в проводимость времени рассеяния) из теоремы унитарности для  $\widehat{T}$  (вывод теоремы унитарности взят из [2], гл. 3, задача 15):

$$\langle \alpha | \widehat{T} | \alpha' \rangle - \langle \alpha | \widehat{T} | \alpha' \rangle^* = \sum_{\alpha''} \langle \alpha | \widehat{T} | \alpha'' \rangle \langle \alpha'' | \widehat{G}^R - \widehat{G}^A | \alpha'' \rangle \langle \alpha'' | \widehat{T} | \alpha' \rangle. \quad (42)$$

Т. к. в диагональном представлении  $\langle \alpha'' | \widehat{G}^R - \widehat{G}^A | \alpha'' \rangle = -2\pi i \delta(\varepsilon - \xi_{\alpha''})$ , то, используя это равенство и полагая  $\alpha' = \alpha$ , получим:

$$\text{Im}\Sigma = -\pi \sum_d \sum_{\alpha'} |\langle \alpha | \widehat{T} | \alpha' \rangle|^2 \delta(\varepsilon - \xi_{\alpha'}). \quad (43)$$

Обратимся к случаю бесконечной плоскости. Легко видеть, что, если амплитуда рассеяния не зависит от углов, то, обозначая  $\langle \alpha | \widehat{T} | \alpha' \rangle = \Lambda_\infty = \text{const}$  (в случае бесконечной плоскости, разумеется,  $|\alpha\rangle \rightarrow |k\rangle$ ), получим, что  $\frac{1}{2\tau} = \pi N \nu(\varepsilon) |\Lambda_\infty|^2$ .

Теперь вернёмся к случаю полосы и найдём связь между  $\langle \alpha | \widehat{T} | \alpha' \rangle$  и  $\Lambda_\infty$ . Рассмотрим точечную примесь сначала на бесконечной плоскости и формально просуммируем для неё ряд для амплитуды рассеяния:

$$\Lambda_\infty = \langle k | \widehat{T} | k \rangle = V + VG_0(d, d)V + \dots = \frac{V}{1 - G_0(d, d)V}. \quad (44)$$

В полосе выражение для функции Грина изменяется:  $G(d, d) = G_0(d, d) + iU$ , – соответственно, имеем:

$$\begin{aligned} \langle \alpha | \widehat{T} | \alpha' \rangle &= \langle \alpha | r_0 \rangle \langle r_0 | \alpha' \rangle (V + VG(d, d)V + \dots) = \\ &= \frac{2}{D} \sin\left(\frac{\pi n d}{D}\right) \sin\left(\frac{\pi n' d}{D}\right) \frac{V}{1 - G(d, d)V} = \frac{2}{D} \sin\left(\frac{\pi n d}{D}\right) \sin\left(\frac{\pi n' d}{D}\right) \Lambda^{(\text{ren})} \end{aligned} \quad (45)$$

. Здесь мы ввели обозначение  $\Lambda^{(\text{ren})} = \frac{\Lambda_\infty}{1-i\Lambda_\infty U}$ . Таким образом, выражение для  $\tau^{-1}$  переписывается так:

$$\frac{1}{\tau} = 2\pi \sum_{\alpha', d} \frac{4}{D^2} \sin^2\left(\frac{\pi n d}{D}\right) \sin^2\left(\frac{\pi n' d}{D}\right) |\Lambda^{(\text{ren})}|^2 \delta(\varepsilon - \xi_{\alpha'}). \quad (46)$$

### 3.3 Вычисление проводимости

С учётом выражения для  $\tau^{-1}$  имеем:

$$\begin{aligned} \sigma &= e^2 \sum_n \sqrt{\frac{2}{m}} \sqrt{\varepsilon_F - \frac{\pi^2 n^2}{2mD^2}} \tau = \\ &= e^2 \sum_n \sqrt{\frac{2}{m}} \sqrt{\varepsilon_F - \frac{\pi^2 n^2}{2mD^2}} \frac{1}{2\pi \frac{4}{D^2} \sum_d \sin^2\left(\frac{\pi n d}{D}\right) |\Lambda^{(\text{ren})}|^2 \sum_{\alpha'} \sin^2\left(\frac{\pi n' d}{D}\right) \delta(\varepsilon - \xi_{\alpha'})}. \end{aligned} \quad (47)$$

Оценим сумму по  $n$ , заменив суммирование на интегрирование:

$$\begin{aligned} \sum_n \frac{\sqrt{a^2 - n^2}}{\sum_d A(d) \sin^2\left(\frac{\pi n d}{D}\right)} &\approx \int_1^a \frac{dn \sqrt{a^2 - n^2}}{\sum_d A(d) \sin^2\left(\frac{\pi n d}{D}\right)} \approx \\ &\approx \int_0^a \frac{dn \sqrt{a^2 - n^2}}{\frac{1}{2} \sum_d A(d)} = \frac{\pi a^2}{2 \sum_d A(d)}. \end{aligned} \quad (48)$$

Здесь синусы под интегралом заменены на средние значения (быстро осциллируют на фоне  $\sqrt{a^2 - n^2}$ ), т. к. в нашем рассмотрении мы предполагаем, что:

$$p_F d \gg 1 \text{ и } p_F (D - d) \gg 1$$

(более детальное обсуждение этого вопроса имеется ниже, в разделе 4 «Нерезонансный случай»).

Здесь и ниже используется обозначение  $a = \frac{p_F D}{\pi}$ .

Итак, имеем:

$$\sigma = \frac{e^2 p_F^2 D^2}{16\pi m} \frac{1}{\sum_d |\Lambda^{(\text{ren})}|^2 \nu(\varepsilon, d)}, \quad (49)$$

где:

$$\nu(\varepsilon, d) = D^{-1} \sum_\alpha \sin^2\left(\frac{\pi n d}{D}\right) \delta(\varepsilon - \xi_\alpha). \quad (50)$$

Вычислим  $\nu(\varepsilon, d)$ , используя формулу суммирования Пуассона:

$$\begin{aligned}
\nu(\varepsilon, d) &= D^{-1} \sum_{\alpha} \sin^2 \left( \frac{\pi n d}{D} \right) \delta(\varepsilon - \xi_{\alpha}) = \\
&= D^{-1} \sum_n \int \frac{dk}{2\pi} \sin^2 \left( \frac{\pi n d}{D} \right) \delta(\varepsilon - \xi_{\alpha}) = \\
&= \frac{D^{-1}}{\pi} \sqrt{\frac{m}{2}} \sum_n \int_0^{+\infty} \frac{d\varepsilon}{\sqrt{\varepsilon}} \sin^2 \left( \frac{\pi n d}{D} \right) \delta \left( \varepsilon_F - \varepsilon - \frac{\pi^2 n^2}{2mD^2} \right) = \\
&= \frac{D^{-1}}{\pi} \sqrt{\frac{m}{2}} \sum_n \frac{\sin^2 \left( \frac{\pi n d}{D} \right)}{\sqrt{\varepsilon_F - \frac{\pi^2 n^2}{2mD^2}}} = \frac{m}{\pi^2} \sum_{n=1}^{n_{\max}} \frac{\sin^2 \left( \frac{\pi n d}{D} \right)}{\sqrt{a^2 - n^2}} = \\
&= \frac{m}{\pi^2} \sum_{k=-\infty}^{\infty} \int_{-a}^a \frac{dx}{\sqrt{a^2 - x^2}} \sin^2 \left( \frac{\pi x d}{D} \right) e^{2\pi i k x} = \\
&= \frac{m}{\pi^2} \sum_{k=-\infty}^{\infty} \left[ \frac{\pi}{2} J_0(2\pi k a) - \frac{\pi}{4} \left\{ J_0(2\pi a(k + d/D)) + J_0(2\pi a(k - d/D)) \right\} \right] = \\
&= \frac{m}{2\pi} \left[ 1 + 2 \sum_{k=1}^{\infty} J_0(2\pi k a) - J_0(2\pi a d/D) - \right. \\
&\quad \left. - \sum_{k=1}^{\infty} \left\{ J_0(2\pi a(k - d/D)) + J_0(2\pi a(k + d/D)) \right\} \right]. \tag{51}
\end{aligned}$$

Легко видеть, что  $\nu(\varepsilon, d) = \frac{m}{2\pi} (1 + \text{Re}U)$ .

Выделим осцилляции сопротивления на фоне среднего значения для бесконечной плоскости:  $\sigma_0 = \frac{1}{2} e^2 \tau v_F^2 \tilde{\nu}(\varepsilon_F) D$ , где  $\tau^{-1} = 2\pi n \nu(\varepsilon_F) |\Lambda_{\infty}|^2$ .

Для относительного изменения сопротивления имеем:

$$\frac{\delta\rho}{\rho} = \sum_d \frac{1 + \text{Re}U}{|1 - i\Lambda_{\infty}U|^2} - 1. \tag{52}$$

Далее, исследуем отдельно резонансный и нерезонансный случай.



## 4 Нерезонансный случай

В этом случае в выражении (52) можно выполнить разложение по малости  $U$ :

$$\frac{\delta\rho}{\rho} = \frac{\delta\rho}{\rho}\Big|_{Born} + \frac{\delta\rho}{\rho}\Big|_{Non-Born}, \quad (53)$$

$$\frac{\delta\rho}{\rho}\Big|_{Born} = \text{Re}U, \quad (54)$$

$$\frac{\delta\rho}{\rho}\Big|_{Non-Born} = -2\text{Re}U \cdot \text{Im}\{\Lambda_\infty U\} - |\Lambda_\infty U|^2 + 4(\text{Im}\{\Lambda_\infty U\})^2. \quad (55)$$

Из вида  $\text{Re}U$  в формуле (51) имеем:  $\text{Re}U = \Delta + \Delta_1(d)$ . Здесь  $\Delta$  - та же самая, что фигурировала при рассмотрении борновского приближения.

Для  $\Delta_1(d)$  справедливо выражение:

$$\Delta_1(d) = \sum_{k=0}^{\infty} \frac{\cos(2p_F(kD + d) - \pi/4)}{\sqrt{\pi p_F(kD + d)}} + \sum_{k=1}^{\infty} \frac{\cos(2p_F(kD - d) - \pi/4)}{\sqrt{\pi p_F(kD - d)}}. \quad (56)$$

Подставляя выражение для  $\Lambda_\infty = \lambda e^{i \arcsin \lambda}$  и выражение (40) для  $U$ , найдём:

$$\begin{aligned} \text{Im}(\Lambda_\infty U) = & -\lambda^2 [J_0(2p_F d) + J_0(2p_F(D - d))] - \\ & - \lambda \sqrt{1 - \lambda^2} [N_0(2p_F d) + N_0(2p_F(D - d))] + \\ & + \lambda \sum_{n=1}^{\infty} \left( \frac{2}{\sqrt{\pi n p_F D}} \sin(2n p_F D - \pi/4 + \arcsin \lambda) - \right. \\ & \left. - \frac{1}{\sqrt{\pi p_F(nD + d)}} \sin(2n p_F D + 2p_F d - \pi/4 + \arcsin \lambda) \right) - \\ & - \lambda \sum_{n=2}^{\infty} \frac{1}{\sqrt{\pi p_F(nD - d)}} \sin(2n p_F D - 2p_F d - \pi/4 + \arcsin \lambda), \end{aligned} \quad (57)$$

$$\begin{aligned} \text{Re}(\Lambda_\infty U) = & -\lambda \sqrt{1 - \lambda^2} [J_0(2p_F d) + J_0(2p_F(D - d))] - \\ & + \lambda^2 [N_0(2p_F d) + N_0(2p_F(D - d))] + \\ & + \lambda \sum_{n=1}^{\infty} \left( \frac{2}{\sqrt{\pi n p_F D}} \cos(2n p_F D - \pi/4 + \arcsin \lambda) - \right. \\ & \left. - \frac{1}{\sqrt{\pi p_F(nD + d)}} \cos(2n p_F D + 2p_F d - \pi/4 + \arcsin \lambda) \right) - \\ & - \lambda \sum_{n=2}^{\infty} \frac{1}{\sqrt{\pi p_F(nD - d)}} \cos(2n p_F D - 2p_F d - \pi/4 + \arcsin \lambda). \end{aligned} \quad (58)$$

Из полученных выражений видно, что поправка начинает расходиться при  $d \rightarrow 0$ . Это происходит из-за того, что в этом пределе  $\Lambda_\infty$  также начинает зависеть от  $d$ . Поэтому далее будем считать, что  $p_F d \gg 1$ , и  $p_F(D - d) \gg 1$ , и  $\Lambda_\infty$  не зависит от  $d$ :

$$\begin{aligned}
\text{Im}(\Lambda_\infty U) &= -\lambda \sum_{n=1}^{\infty} \frac{2}{\sqrt{\pi n p_F D}} \sin(2n p_F D - \pi/4 + \arcsin \lambda) - \\
&- \lambda \sum_{n=0}^{\infty} \frac{1}{\sqrt{\pi p_F (nD + d)}} \sin(2n p_F D + 2p_F d - \pi/4 + \arcsin \lambda) - \\
&- \lambda \sum_{n=1}^{\infty} \frac{1}{\sqrt{\pi p_F (nD - d)}} \sin(2n p_F D - 2p_F d - \pi/4 + \arcsin \lambda), \tag{59}
\end{aligned}$$

$$\begin{aligned}
\text{Re}(\Lambda_\infty U) &= \lambda \sum_{n=1}^{\infty} \frac{2}{\sqrt{\pi n p_F D}} \cos(2n p_F D - \pi/4 + \arcsin \lambda) - \\
&- \lambda \sum_{n=0}^{\infty} \frac{1}{\sqrt{\pi p_F (nD + d)}} \cos(2n p_F D + 2p_F d - \pi/4 + \arcsin \lambda) - \\
&- \lambda \sum_{n=1}^{\infty} \frac{1}{\sqrt{\pi p_F (nD - d)}} \cos(2n p_F D - 2p_F d - \pi/4 + \arcsin \lambda). \tag{60}
\end{aligned}$$

Выполняя усреднение по  $d$ , считая его распределённым равномерно, получим следующие ответы (детали этого вычисления можно найти в приложении А):

Если  $p_F D(p_F D - \pi N) \gg 1$ , но  $p_F D - \pi N \ll 1$ , то:

$$\left. \frac{\delta \rho}{\rho} \right|_{\text{Non-Born}} \approx \frac{\lambda \sqrt{1 - \lambda^2} + 6\lambda^4}{p_F D(p_F D - \pi N)}. \tag{61}$$

В случае  $p_F D \rightarrow \pi N - 0$  получаем:

$$\left. \frac{\delta \rho}{\rho} \right|_{\text{Non-Born}} \approx \frac{5\lambda^2 - 6\lambda^4 - \lambda \sqrt{1 - \lambda^2}}{p_F D(\pi N - p_F D)}. \tag{62}$$

## 5 Резонансный случай

### 5.1 Аналитические свойства перенормированной амплитуды рассеяния

Выражение для перенормированной амплитуды имеет вид:

$$\Lambda^{(ren)} = \frac{\Lambda_\infty}{1 - i\Lambda_\infty U}. \quad (63)$$

Т. к. функция  $U$  подавлена малым множителем  $(p_F D)^{-1/2}$ , а  $|\Lambda| < 1$ , то полюс  $\Lambda^{(ren)}$  может возникать лишь в случае расходимости  $U$ .

Выясним, когда функция  $U$  может вести себя резонансным образом.

Выражение для  $U$  имеет вид:

$$U = \left( 2 \sum_{n=1}^{\infty} \frac{1}{\sqrt{\pi n p_F D}} e^{i(2n p_F D - \pi/4)} - \sum_{n=0}^{\infty} \frac{1}{\sqrt{\pi p_F (nD + d)}} e^{i(2n p_F D + 2p_F d - \pi/4)} - \sum_{n=1}^{\infty} \frac{1}{\sqrt{\pi p_F (nD - d)}} e^{i(2n p_F D - 2p_F d - \pi/4)} \right). \quad (64)$$

Введём в рассмотрение функцию:

$$S_a(z) = e^{-i\pi/4 + i z a} \sum_{n=1}^{\infty} \frac{e^{i z n}}{\sqrt{n + a}},$$

$S_0(z) \equiv S(z)$ , тогда выражение для  $U$  перепишется так:

$$U = \frac{1}{\sqrt{\pi p_F D}} \left( 2S_0(2p_F D) - S_{d/D}(2p_F D) - S_{-d/D}(2p_F D) \right). \quad (65)$$

Если  $p_F D \rightarrow \pi N$ , в то время как  $p_F d \neq \pi M$ , то  $U$  расходится корневым образом:

$$\begin{aligned} & 2S_0(2p_F D) - S_{d/D}(2p_F D) - S_{-d/D}(2p_F D) = \\ & = e^{-i\pi/4} \int_1^\infty dn e^{i n \delta z} \left( \frac{2}{\sqrt{n}} - \frac{e^{i z_1}}{\sqrt{n + a}} - \frac{e^{-i z_1}}{\sqrt{n - a}} \right) \approx \\ & \approx 2e^{-i\pi/4} (1 - \cos z_1) \int_1^\infty \frac{dn}{\sqrt{n}} e^{i n \delta z}. \end{aligned} \quad (66)$$

Здесь  $z_1 = 2p_F d$ .

Итак,

$$U \approx \begin{cases} 2(1 - \cos z_1) \frac{1}{\sqrt{\pi p_F D}} \sqrt{\frac{\pi}{\delta z}}, & \delta z = 2(p_F D - \pi N) > 0; \\ -2i(1 - \cos z_1) \frac{1}{\sqrt{\pi p_F D}} \sqrt{\frac{\pi}{|\delta z|}}, & \delta z < 0. \end{cases} \quad (67)$$

Однако эта расходимость может быть подавлена при  $\delta z_1 = |z_1 - 2\pi M| \ll 1$ : для этого достаточно, чтобы  $|\delta z_1| \ll |\delta z p_F D|^{1/4}$ .

Теперь, рассматривая  $\Lambda^{(\text{ren})}$  как функцию комплексного переменного  $\delta z$ , найдём её полюс:

$$\delta z = -\frac{16 \sin^4(p_F d)}{p_F D} \Lambda_\infty^2 = -\frac{16 \sin^4(p_F d)}{p_F D} \lambda^2 \left(1 - 2\lambda^2 + 2i\lambda\sqrt{1 - \lambda^2}\right). \quad (68)$$

Из полученной формулы легко видеть, что, не проводя усреднения по положению примесей, мы получили бы набор пиков слева от старого резонанса  $p_F D = \pi N$  в полосе шириной  $\sim \frac{\lambda^2}{N}$ . Оценим ширины получающихся пиков.

Вблизи резонанса знаменатель выражения (63) представим в виде:

$$(\pi N \delta z + 16 \sin^2(p_F d) \lambda^2)^2 + (32 \sin^4(p_F d) \lambda^3)^2.$$

Отсюда характерная ширина пика  $\frac{\lambda^3}{N}$ . При усреднении по беспорядку должна получиться плавная огибающая с большей (как мы увидим, параметрически) шириной. Высота пика  $\frac{\rho}{\rho_0} \sim \frac{1}{\lambda^2}$ .

## 5.2 Усреднение сопротивления по положению примеси

$$\frac{\delta \rho}{\rho} = \sum_d \frac{1 + \text{Re}U}{|1 - i\Lambda_\infty U|^2} - 1 = \frac{\rho}{\rho_0} - 1. \quad (69)$$

Отсюда и ниже происходит смена обозначений.

Ранее  $\rho$  - неборновское сопротивление бесконечной плоскости,  $\delta \rho$  - разность сопротивления конечной и бесконечной плоскости.

Теперь  $\rho_0$  - сопротивление бесконечной плоскости,  $\rho$  - сопротивление полосы.

Усредним выражение  $\frac{1 + \text{Re}U}{|1 - i\Lambda_\infty U|^2}$  по  $d$ , имея в виду случай близости к старому резонансу.

Как мы выяснили ранее, асимптотика  $U$  вблизи резонанса имеет вид:

$$U \approx \frac{2\sqrt{2} \sin^2(p_F d)}{\sqrt{p_F D(p_F D - \pi N)}}. \quad (70)$$

Пусть  $p_F D - \pi N > 0$ . Расписывая знаменатель, имеем:

$$\begin{aligned} & \frac{1}{1 + |\Lambda_\infty U|^2 + 2\text{Im}(\Lambda_\infty U)} = \\ & = \frac{1}{1 + \frac{8\lambda^2}{p_F D(p_F D - \pi N)} \sin^4(p_F d) + \frac{4\sqrt{2}\lambda^2 \sin^2(p_F d)}{\sqrt{p_F D(p_F D - \pi N)}}}. \end{aligned} \quad (71)$$

Используем значения следующих интегралов:

$$\begin{aligned} & \int_0^\pi \frac{dx}{1 + a \sin^4 x + 2b \sin^2 x} = \\ & = \frac{\pi}{2(1 + a + 2b)\sqrt{b^2 - a}} \left( (a + b) \left( -\sqrt{1 + b - \sqrt{-a + b^2}} + \right. \right. \\ & \left. \left. + \sqrt{1 + b + \sqrt{-a + b^2}} \right) + \sqrt{b^2 - a} \left( \sqrt{1 + b - \sqrt{-a + b^2}} + \right. \right. \\ & \left. \left. + \sqrt{1 + b + \sqrt{-a + b^2}} \right) \right), \end{aligned} \quad (72)$$

$$\begin{aligned} & \int_0^\pi \frac{\sin^2 x dx}{1 + a \sin^4 x + 2b \sin^2 x} = \\ & = \frac{\pi}{2(1 + a + 2b)\sqrt{b^2 - a}} \left( (1 + b) \left( \sqrt{1 + b - \sqrt{-a + b^2}} - \right. \right. \\ & \left. \left. - \sqrt{1 + b + \sqrt{-a + b^2}} \right) + \sqrt{b^2 - a} \left( \sqrt{1 + b - \sqrt{-a + b^2}} + \right. \right. \\ & \left. \left. + \sqrt{1 + b + \sqrt{-a + b^2}} \right) \right). \end{aligned} \quad (73)$$

В данном случае  $a = \frac{8\lambda^2}{p_F D(p_F D - \pi N)}$ ,  $b = \frac{2\sqrt{2}\lambda^2}{\sqrt{p_F D(p_F D - \pi N)}}$ . Путём простого преобразования

можно показать, что выражение для сопротивления имеет вид:

$$\begin{aligned}
\frac{\rho}{\rho_0} = & \frac{\pi}{\left(1 + \frac{8\lambda^2}{p_FD(p_FD - \pi N)} + \frac{2\sqrt{2}\lambda^2}{\sqrt{p_FD(p_FD - \pi N)}}\right)^{3/4}} \cdot \\
& \cdot \left\{ \sqrt{\frac{1}{2} \left( 1 - \left( 1 + \frac{8\lambda^2}{p_FD(p_FD - \pi N)} \cdot \frac{1 - \lambda^2}{\left(1 + \frac{2\sqrt{2}\lambda^2}{\sqrt{p_FD(p_FD - \pi N)}}\right)^2} \right)^{-1/2} \right)} \right. \\
& \cdot \left( -\frac{1}{\lambda} \right) + \\
& + \left. \sqrt{\frac{1}{2} \left( 1 + \left( 1 + \frac{8\lambda^2}{p_FD(p_FD - \pi N)} \cdot \frac{1 - \lambda^2}{\left(1 + \frac{2\sqrt{2}\lambda^2}{\sqrt{p_FD(p_FD - \pi N)}}\right)^2} \right)^{-1/2} \right)} \right. \\
& \cdot \left. \left( 1 + \frac{2\sqrt{2}}{\sqrt{p_FD(p_FD - \pi N)}} \right) \right\}. \tag{74}
\end{aligned}$$

Это общая формула для сопротивления, которую нам необходимо исследовать.

Имеются две различные области: вблизи старого резонанса  $p_FD(p_FD - \pi N) \ll \lambda^2$  и, как мы покажем ниже, область нового резонанса  $p_FD(p_FD - \pi N) \sim \lambda^2$ .

В дальнейшем мы сконцентрируемся на случае  $|\lambda| \ll 1$  (в этом случае резонанс наиболее резкий, как и в случае  $1 - \lambda \ll 1$ ), тогда появится дополнительная область  $\lambda^2 \ll p_FD(p_FD - \pi N) \ll 1$ .

### 5.3 Аналитические свойства сопротивления

Покажем, что у найденной функции  $\frac{\rho}{\rho_0}$  есть полюс на мнимой оси по переменной  $p_FD$  (в дальнейшем для удобства будем рассматривать комплексную переменную

$$\delta z = 2p_FD(p_FD - \pi N).$$

Из вида выражений (72), (73) легко находится условие на полюс:  $1 + a + 2b = 0$ , где

$$a = \frac{16\lambda^2}{|\delta z|}, \quad b = 4\lambda \operatorname{Im} \frac{e^{i \arcsin \lambda}}{\sqrt{\delta z}}.$$

Вводя фазу  $\delta z = |\delta z|e^{i\varphi}$ , легко находим:

$$|\delta z| + 8\lambda\sqrt{|\delta z|} \sin\left(\arcsin \lambda - \frac{\varphi}{2}\right) + 16\lambda^2 = 0. \quad (75)$$

Из требования наличия неотрицательного решения получаем ответ:

$$\delta z/2 = p_F D(p_F D - \pi N) = -8\lambda^2 e^{2i \arcsin \lambda} = -8\lambda^2 \left(1 - 2\lambda^2 + 2i\lambda\sqrt{1 - \lambda^2}\right). \quad (76)$$

Рассмотрим случай  $\lambda \ll 1$ . Тогда  $\operatorname{Re} \delta z \gg \operatorname{Im} \delta z$ , и полюс близок к вещественной оси.

Найдём положение максимума:  $p_F D(p_F D - \pi N) = -8\lambda^2$ , откуда:

$$p_F D = \pi N - \frac{8\lambda^2}{\pi N}. \quad (77)$$

Находим высоту максимума (она выражается только через  $\lambda$ , т. к. в коэффициенты  $a$ ,  $b$  входит комбинация  $p_F D(p_F D - \pi N) = -8\lambda^2$ ):

$$\frac{\delta \rho}{\rho} = \frac{1}{\sqrt{2}} \frac{1}{\lambda^{3/2}} \approx \frac{0.71}{\lambda^{3/2}}. \quad (78)$$

## 5.4 Поведение сопротивления вблизи старого резонанса

Здесь будет удобно дать независимый вывод. Подставив в (72) выражения для  $a$  и  $b$  при условии  $a, b \gg 1$ , получим:

$$\sqrt{b^2 - a} = i \frac{2\sqrt{2}\lambda\sqrt{1 - \lambda^2}}{\sqrt{p_F D(p_F D - \pi N)}}, \quad (79)$$

$$\begin{aligned} \sqrt{1 + b - \sqrt{-a + b^2}} &\approx \sqrt{\frac{2\sqrt{2}\lambda^2}{\sqrt{p_F D(p_F D - \pi N)}} - i \frac{2\sqrt{2}\lambda\sqrt{1 - \lambda^2}}{\sqrt{p_F D(p_F D - \pi N)}}} = \\ &= \frac{\sqrt{2\sqrt{2}\lambda}}{(p_F D(p_F D - \pi N))^{1/4}} e^{-i\pi/4 + i \arcsin \lambda/2}, \end{aligned} \quad (80)$$

$$\begin{aligned}
\left\langle \frac{1}{|1 - i\Lambda_\infty U|^2} \right\rangle &= \frac{N}{p_F D} \frac{\pi}{2i2\sqrt{2}\lambda\sqrt{1-\lambda^2}} \sqrt{2\sqrt{2}\lambda} (p_F D(p_F D - \pi N))^{1/4} 2i \\
&= \frac{1}{2} \left( \sqrt{1 + \sqrt{1 - \lambda^2}} - \sqrt{1 - \sqrt{1 - \lambda^2}} \right) = \\
&= \frac{N}{p_F D} \frac{\pi}{2^{7/4} \sqrt{\lambda(1 - \lambda^2)}} (p_F D(p_F D - \pi N))^{1/4} \left( \sqrt{1 + \sqrt{1 - \lambda^2}} - \sqrt{1 - \sqrt{1 - \lambda^2}} \right). \quad (81)
\end{aligned}$$

Окончательно имеем:

$$\begin{aligned}
&= \frac{N}{p_F D} \frac{\pi}{2^{7/4} \sqrt{\lambda(1 - \lambda^2)}} (p_F D(p_F D - \pi N))^{1/4} \left( \sqrt{1 + \sqrt{1 - \lambda^2}} - \sqrt{1 - \sqrt{1 - \lambda^2}} \right) + \\
&+ \frac{N}{p_F D} \frac{\pi}{2^{5/4} \lambda^{3/2} \sqrt{1 - \lambda^2}} (p_F D(p_F D - \pi N))^{1/4} \left\{ \left( \sqrt{1 - \lambda^2} - \lambda \right) \sqrt{1 + \sqrt{1 - \lambda^2}} + \right. \\
&\quad \left. + \left( \sqrt{1 - \lambda^2} + \lambda \right) \sqrt{1 - \sqrt{1 - \lambda^2}} \right\}. \quad (82)
\end{aligned}$$

Т. о., в старом резонансе расходимость оказалась подавленной (сопротивление обращается в ноль при  $p_F D \rightarrow \pi N + 0$  как  $(p_F D(p_F D - \pi N))^{1/4}$ ).

В пределе малых  $\lambda$  выражение (82) принимает вид:

$$\frac{\rho}{\rho_0} = \frac{N}{p_F D} \frac{\pi}{2^{3/4} \lambda^{3/2}} (p_F D(p_F D - \pi N))^{1/4} \quad (83)$$

Рассмотрим случай  $p_F D - \pi N < 0$ . Тогда  $a = \frac{16\lambda^2}{p_F D|\delta z|}$ ,  $b = -\frac{4\lambda\sqrt{1-\lambda^2}}{\sqrt{p_F D|\delta z|}}$ .

Имеем:

$$\sqrt{b^2 - a} = i \frac{4\lambda^2}{\sqrt{p_F D|\delta z|}}, \quad (84)$$

$$\begin{aligned}
\sqrt{1 + b - \sqrt{-a + b^2}} &\approx \sqrt{-\frac{4\lambda\sqrt{1-\lambda^2}}{\sqrt{p_F D|\delta z|}} - i \frac{4\lambda^2}{\sqrt{p_F D|\delta z|}}} = \\
&= \frac{2\sqrt{\lambda}}{(p_F D|\delta z|)^{1/4}} \sqrt{-\sqrt{1 - \lambda^2} - i\lambda} = \frac{2\sqrt{\lambda}}{(p_F D|\delta z|)^{1/4}} e^{-i\pi/2 + i \arcsin \lambda/2}, \quad (85)
\end{aligned}$$

$$\begin{aligned}
\left\langle \frac{1}{|1 - i\Lambda_\infty U|^2} \right\rangle &= \frac{N}{p_F D} \frac{\pi}{2i4\lambda^2} (p_F D|\delta z|)^{1/4} 2\sqrt{\lambda} (-2i) \sin(-\pi/2 + \arcsin \lambda/2) = \\
&= \frac{N\pi}{p_F D} \frac{1}{2\sqrt{2}} \frac{(p_F D|\delta z|)^{1/4}}{\lambda^{3/2}} \sqrt{1 + \sqrt{1 - \lambda^2}}. \quad (86)
\end{aligned}$$



Слагаемое вида  $\left\langle \frac{\text{Re}U}{|1-i\lambda_\infty U|^2} \right\rangle$  здесь несущественно, т. к. при  $p_F D \rightarrow \pi N - 0$  у  $S(2p_F D)$  нет расходимости, и в интересующем нас порядке этот член зануляется ( $U \sim \frac{1}{\sqrt{\pi p_F D}} S(2p_F D)$ ).

Окончательно получаем:

$$\frac{\rho}{\rho_0} = \frac{N\pi}{p_F D} \frac{1}{2\sqrt{2}} \frac{(p_F D |\delta z|)^{1/4}}{\lambda^{3/2}} \sqrt{1 + \sqrt{1 - \lambda^2}}, \quad (87)$$

где  $\delta z = 2(p_F D - \pi N)$ .

## 5.5 Новый резонанс

Полученные формулы для  $\frac{\rho}{\rho_0}$  были выведены в предположении  $\lambda^2 \gg \sqrt{p_F D(p_F D - \pi N)}$ ,  $\lambda\sqrt{1 - \lambda^2} \gg \sqrt{p_F D(p_F D - \pi N)}$ . Однако в области  $\lambda \sim \sqrt{p_F D(p_F D - \pi N)}$  в действительности имеется дополнительный резонанс. В этом можно убедиться, построив график зависимости  $\frac{\rho}{\rho_0}$  от  $p_F D$  вблизи старого резонанса:

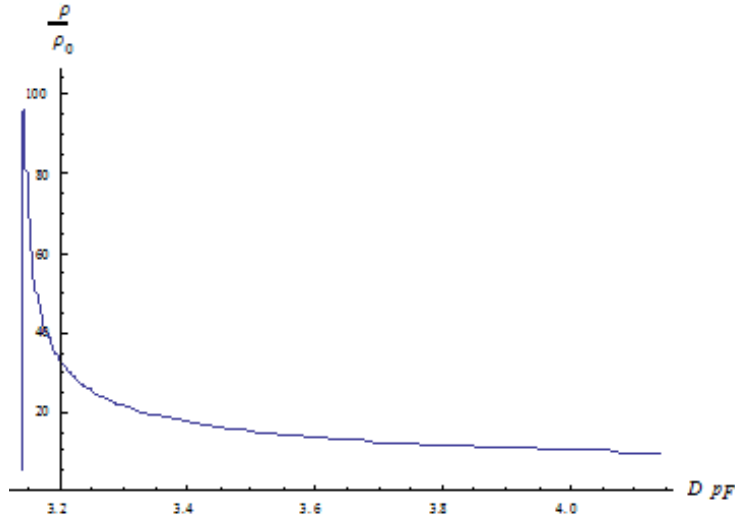


Рис. 3. Зависимость сопротивления от  $p_F D$  при  $\lambda = 0.026$ .

Заметный резонанс присутствует до значения  $\lambda = 0.1$ , при дальнейшем увеличении  $\lambda$  резонанс сильно сглаживается.

## 5.6 Анализ случая $p_F D \rightarrow \pi N + 0$

Найдём асимптотическую формулу для «хвоста» резонанса из (74):

$$\frac{\rho}{\rho_0} = \frac{\sqrt{2}}{\sqrt{p_F D(p_F D - \pi N)}}. \quad (88)$$

Эта формула в точности воспроизводит ответ, полученный из борновского приближения.

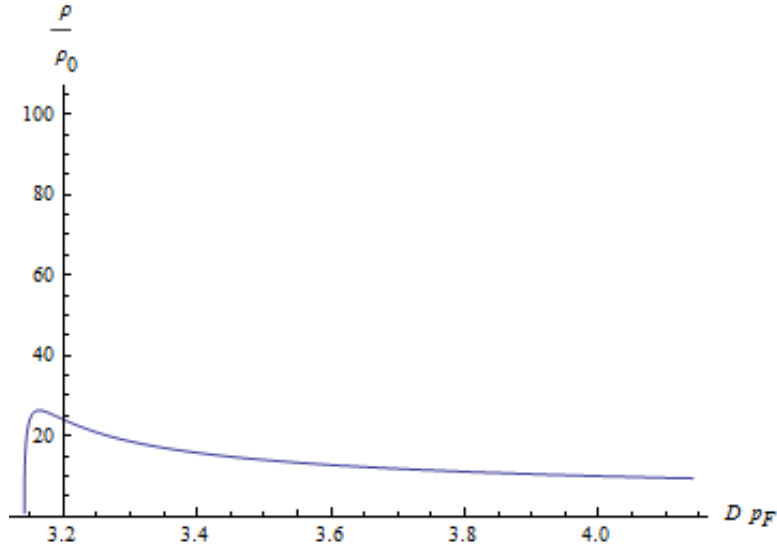


Рис. 4. Зависимость сопротивления от  $p_F D$  при  $\lambda = 0.1$ .

Теперь выясним, как ведёт себя поправка в резонансной области. Для этого в выражении (74) учтём то, что  $\lambda \ll 1$ . А именно, удержим члены вида  $\frac{\lambda^2}{p_F D(p_F D - \pi N)} = a^2$  (т. к. в точке резонанса, как мы увидим,  $\frac{\lambda^2}{p_F D(p_F D - \pi N)} \sim 1$ ) и пренебрежём членами вида  $a^2 \lambda$ :

$$\begin{aligned} \frac{\rho}{\rho_0} = \frac{1}{(1 + 8a^2)^{3/4}} & \left\{ - \left[ \frac{1}{2} \left( 1 - \frac{1}{\sqrt{1 + 8a^2}} \right) \right]^{1/2} + \right. \\ & \left. + 2\sqrt{2}a \left[ \frac{1}{2} \left( 1 + \frac{1}{\sqrt{1 + 8a^2}} \right) \right]^{1/2} \right\} \frac{1}{\lambda} = F(a) \frac{1}{\lambda}. \end{aligned} \quad (89)$$

Такое разложение, разумеется, «законно» только в области  $p_F D(p_F D - \pi N) \sim \lambda^2$ , где  $a \sim 1$ . У функции  $F(a)$  имеется максимум в точке  $a = 0.48$ , и в этой точке  $F(a) = 0.45$  (эти значения найдены численно). Соответственно,  $\frac{\rho}{\rho_0} = \frac{0.45}{\lambda}$  и резонанс находится в точке  $p_F D = \pi N + 4.34 \frac{\lambda^2}{\pi N}$ .

Здесь возрастание  $\frac{\rho}{\rho_0}$  при  $\lambda \rightarrow 0$  не должно вызывать недоразумений. Действительно, в этой формуле  $\rho_0$  – удельное сопротивление бесконечной плоскости на единицу (усреднённое по беспорядку), поэтому  $\rho_0 \sim \frac{1}{\tau} \sim \lambda^2$  и  $\rho \sim \lambda$ .

Найдём зависимость ширины резонанса  $\delta x$  от  $\lambda$  и  $p_F D$ . Формулу (89) можно представить в виде:

$$\frac{\rho}{\rho_0} = f(p_F D) = F(a) \frac{1}{\lambda},$$

откуда  $\delta x \sim \frac{\lambda^2}{p_F D}$ .

Таким образом, ширина резонанса, как и должно быть, уменьшается с ростом  $p_F D$ . Мы связываем возникновение этого пика со следом от расходимости плотности состояний, т. е. борновское приближение хорошо работает вплоть до области  $p_F D(p_F D - \pi N) \sim \lambda^2$ , а даль-

ше неборновские поправки обращают сопротивление в ноль. Однако роль неборновских поправок этим не ограничится. Как мы увидим ниже, они приводят к дополнительному резонансу слева от  $\pi N$ .

## 5.7 Анализ случая $p_F D \rightarrow \pi N - 0$

Из общих формул (69), (72) для сопротивления получаем:

$$\begin{aligned} \frac{\rho}{\rho_0} = & \frac{1}{\left(1 + \frac{8\lambda^2}{p_F D(\pi N - p_F D)} - \frac{4\sqrt{2}\lambda\sqrt{1-\lambda^2}}{\sqrt{p_F D(\pi N - p_F D)}}\right)^{3/4}} \cdot \\ & \cdot \left[ \frac{1}{2} \left( 1 - \left( 1 + \frac{8\lambda^4}{p_F D(\pi N - p_F D)} \frac{1}{\left(1 - \frac{2\sqrt{2}\lambda\sqrt{1-\lambda^2}}{\sqrt{p_F D(\pi N - p_F D)}}\right)^2} \right)^{-1/2} \right) \right. \\ & \cdot \left( \frac{2\sqrt{2}}{\sqrt{p_F D(\pi N - p_F D)}} - \frac{\sqrt{1-\lambda^2}}{\lambda} \right) + \\ & \left. + \sqrt{\frac{1}{2} \left( 1 + \left( 1 + \frac{8\lambda^4}{p_F D(\pi N - p_F D)} \frac{1}{\left(1 - \frac{2\sqrt{2}\lambda\sqrt{1-\lambda^2}}{\sqrt{p_F D(\pi N - p_F D)}}\right)^2} \right)^{-1/2} \right)} \right]. \end{aligned} \quad (90)$$

Мы ожидаем увидеть наличие резкого максимума в точке  $p_F D = \pi N - \frac{8\lambda^2}{\pi N}$ .

Как и в предыдущем пункте, введём параметр  $a = \frac{2\sqrt{2}\lambda}{\sqrt{p_F D(\pi N - p_F D)}}$ . В точке резонанса  $a = 1$ . Наличие такого резонанса видно из Рис. 5.

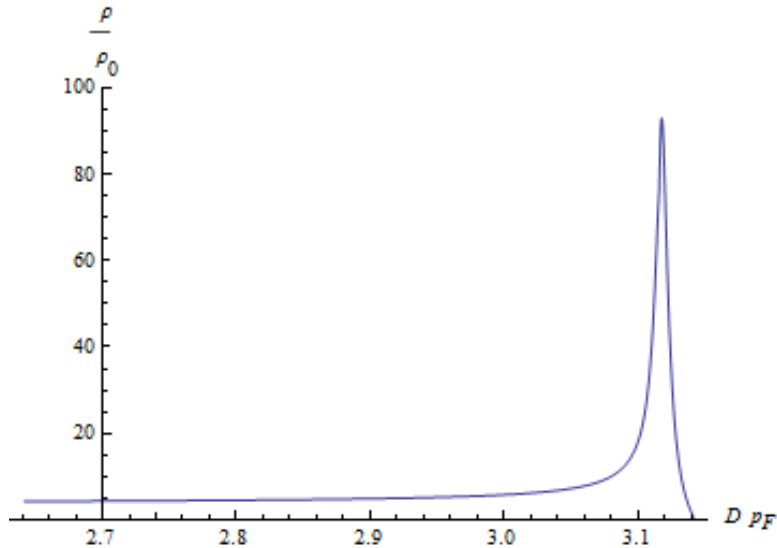


Рис. 5. Зависимость сопротивления от  $p_F D$  при  $\lambda = 0.1$ .

В случае  $1 - a \ll \lambda$  сопротивление описывается выражением:

$$\frac{\rho}{\rho_0} = \frac{1}{\sqrt{2}((1-a)^2 + a\lambda^2)^{3/4}}. \quad (91)$$

В области  $1 - a \sim \lambda$  выражение несколько усложняется:

$$\begin{aligned} \frac{\rho}{\rho_0} = \frac{1}{\left(1 + \left(\frac{1-a\sqrt{1-\lambda^2}}{a\lambda}\right)^2\right)^{3/4}} & \left[ \sqrt{\frac{1}{2} \left(1 - \left(1 + \left(\frac{\lambda a}{1-a\sqrt{1-\lambda^2}}\right)^2\right)^{-1/2}\right)} \frac{a - \sqrt{1-\lambda^2}}{\lambda^{5/2} a^{3/2}} + \right. \\ & \left. + \frac{1}{a^{3/2} \lambda^{3/2}} \sqrt{\frac{1}{2} \left(1 + \left(1 + \left(\frac{\lambda a}{1-a\sqrt{1-\lambda^2}}\right)^2\right)^{-1/2}\right)} \right]. \quad (92) \end{aligned}$$

Данное выражение зависит от трёх комбинаций:  $\frac{a\lambda}{1-a\sqrt{1-\lambda^2}}$ ,  $\frac{a^{3/2}\lambda^{5/2}}{a-\sqrt{1-\lambda^2}}$ ,  $a\lambda$ . Находя отсюда масштаб изменения всей функции (т.е. характерную ширину резонанса  $\Gamma$ ), получим:  $\Gamma \sim \frac{\lambda^{5/2}}{N}$ . Это параметрически больше, чем ширина в случае  $\delta$ -легирования ( $\frac{\lambda^3}{N}$ ), полученная при обсуждении аналитических свойств амплитуды рассеяния.

Наконец, при  $1 - a \gg \lambda$  имеем:  $\frac{\delta\rho}{\rho} = \frac{1}{(1-a)^{3/2}} (1 - a/2)$ , что при  $p_F D(\pi N - p_F D) \gg \lambda^2$  переходит в  $\frac{\delta\rho}{\rho} = 1 + a$ .

## 6 Результаты

Нами было исследовано сопротивление полосы с примесями.

Было выяснено, что в борновском приближении сопротивление расходится при  $p_F D \rightarrow \pi N + 0$ . Неборновские поправки обращают в ноль  $\rho$  в точке старого резонанса, и, кроме этого, возникают дополнительные максимумы слева и справа от  $\pi N$ .

Максимум слева мы связываем с наличием у примеси квазистационарного состояния, а максимум справа - со следом от расходимости плотности состояний.

В усреднённом случае правый максимум имеет ширину  $\delta(p_F D)_{res} \sim \frac{\lambda^2}{N}$  и высоту  $\frac{\rho}{\rho_0} \sim \lambda^{-1}$ . Левый максимум уже ( $\delta(p_F D)_{res} \sim \frac{\lambda^{5/2}}{N}$ ) и выше ( $\frac{\rho}{\rho_0} \sim \lambda^{-3/2}$ ). В случае  $\delta$ -легирования левый максимум становится ещё уже и выше:  $\delta(p_F D)_{res} \sim \frac{\lambda^3}{N} \sin^4(p_F d)$  и  $\frac{\rho}{\rho_0} \sim \lambda^{-2}$ . Правый максимум остаётся почти таким же, как в усреднённом случае.

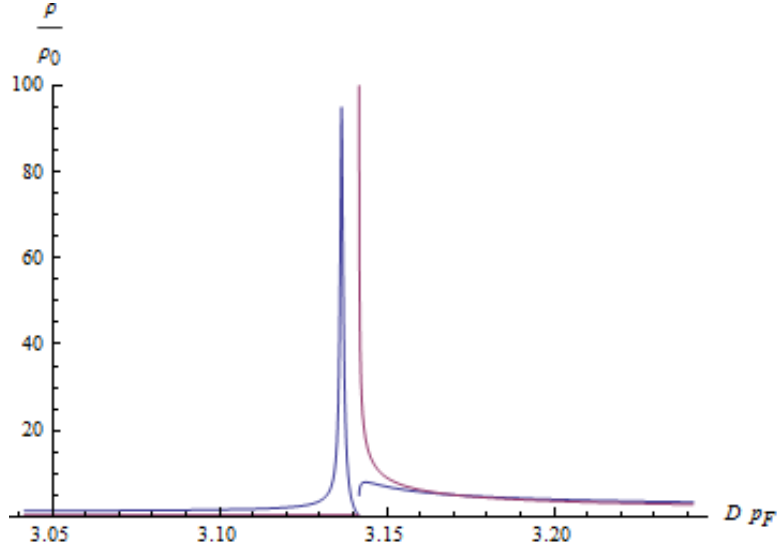


Рис. 6. Зависимость поправки от  $p_F D$ .  $\lambda = 0.046$  Здесь красная линия - борновское приближение

Более детально поведение  $\frac{\rho}{\rho_0}(p_F D)$  представлено ниже.

### 6.1 $p_F D \rightarrow \pi N + 0$

Таким образом, вблизи старого резонанса имеются 4 различные области:

I:  $p_F D(p_F D - \pi N) \ll \lambda^2 \ll 1$ . Здесь  $\frac{\rho}{\rho_0} \sim \lambda^{-3/2} (p_F D(p_F D - \pi N))^{1/4}$ .

II:  $p_F D(p_F D - \pi N) \sim \lambda^2$ . Это область резонанса. Положение резонанса:  $p_F D = \pi N + 4.34 \frac{\lambda^2}{\pi N}$ . Амплитуда резонанса  $\frac{\rho}{\rho_0} \approx \frac{0.47}{\lambda}$ . Полуширина  $\delta(p_F D)_{res} \sim \frac{\lambda^2}{p_F D}$ .

Поведение поправки описывается формулой (89).

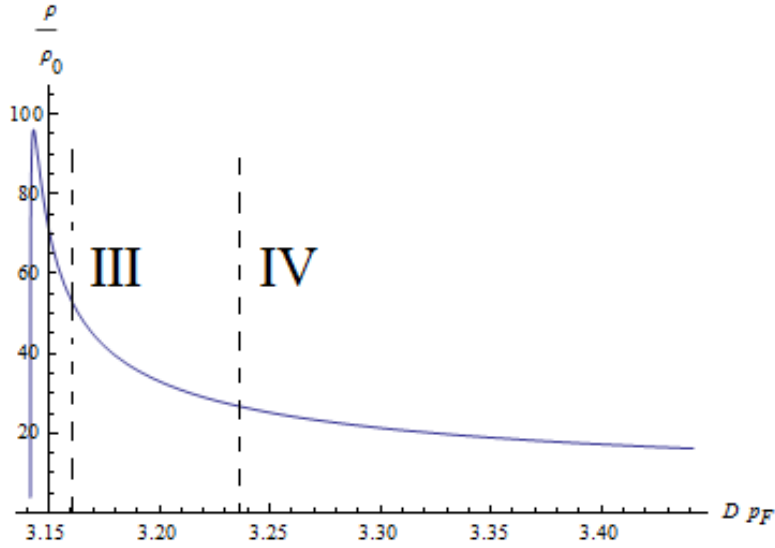


Рис. 7. Зависимость поправки от  $p_F D$  при  $\lambda = 0.026$ .

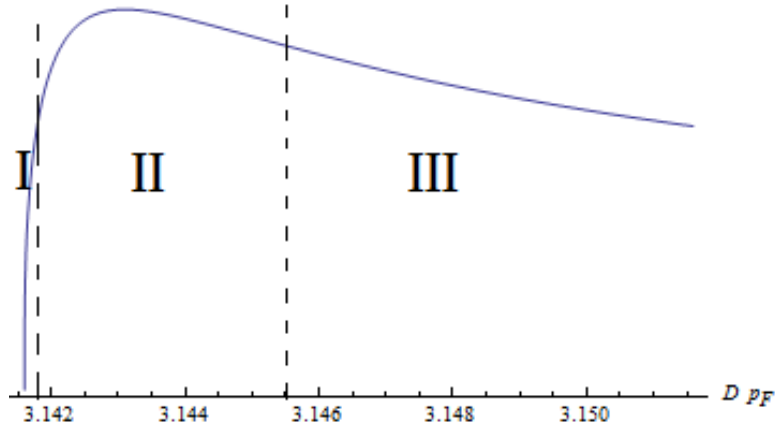


Рис. 8. Зависимость поправки от  $p_F D$  при  $\lambda = 0.026$ .

III:  $\lambda^2 \ll p_F D(p_F D - \pi N) \ll 1$ . Здесь  $\frac{\rho}{\rho_0} \approx \frac{\sqrt{2}}{\sqrt{p_F D(p_F D - \pi N)}}$ .

IV:  $p_F D(p_F D - \pi N) \gg 1$ . Это пертурбативный режим.  $\left. \frac{\delta \rho}{\rho} \right|_{Non-Born} \approx \frac{\lambda \sqrt{1 - \lambda^2} + 6\lambda^4}{p_F D(p_F D - \pi N)}$ .

## 6.2 $p_F D \rightarrow \pi N - 0$

I:  $p_F D(\pi N - p_F D) \ll \lambda^2 \ll 1$ . Здесь  $\frac{\rho}{\rho_0} \sim \lambda^{-3/2} (p_F D(\pi N - p_F D))^{1/4}$ .

II:  $p_F D(\pi N - p_F D) \sim \lambda^2$ . Это область резонанса. Положение резонанса:  $p_F D = \pi N - 8 \frac{\lambda^2}{\pi N}$ . Амплитуда резонанса  $\frac{\rho}{\rho_0} \approx \frac{0.71}{\lambda^{3/2}}$ . Полуширина  $\delta(p_F D)_{res} \sim \frac{\lambda^2}{p_F D}$ . Поведение поправки описывается формулой (92).

III:  $1 - a \gg \lambda$ . Здесь  $\frac{\rho}{\rho_0} = \frac{1}{(1-a)^{3/2}} (1 - a/2)$ ,  $a = \frac{2\sqrt{2}\lambda}{p_F D(\pi N - p_F D)}$ .

IV:  $p_F D(\pi N - p_F D) \gg 1$ . Это пертурбативный режим.  $\left. \frac{\delta \rho}{\rho} \right|_{Non-Born} \approx \frac{-\lambda \sqrt{1 - \lambda^2} - 6\lambda^4 + 5\lambda^2}{p_F D(\pi N - p_F D)}$ .

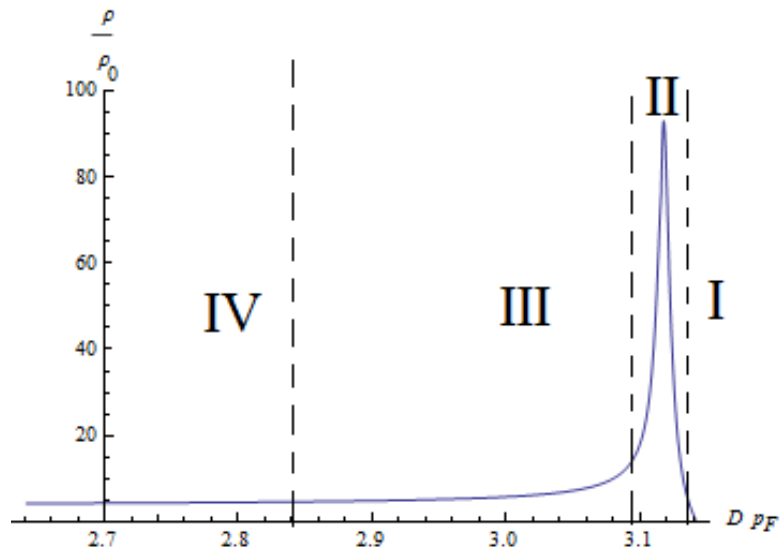


Рис. 9. Зависимость сопротивления от  $p_F D$  при  $\lambda = 0.1$ .

## Благодарности

Я выражаю глубокую благодарность моему научному руководителю Алексею Соломоновичу Иоселевичу за множественные обсуждения и помощь в решении этой задачи.

## А Усреднение поправки в нерезонансном случае

$$\langle \text{Re}(\Lambda_\infty U) \rangle = \lambda \sum_{n=1}^{\infty} \frac{2}{\sqrt{\pi n p_F D}} \cos(2n p_F D - \pi/4 + \arcsin \lambda), \quad (93)$$

$$\langle \text{Im}(\Lambda_\infty U) \rangle = -\lambda \sum_{n=1}^{\infty} \frac{2}{\sqrt{\pi n p_F D}} \sin(2n p_F D - \pi/4 + \arcsin \lambda). \quad (94)$$

$$\begin{aligned} \langle \text{Re}^2(\Lambda_\infty U) \rangle &= \lambda^2 \left\langle \left( \sum_{n=1}^{\infty} \frac{2}{\sqrt{\pi n p_F D}} \cos(2n p_F D - \pi/4 + \arcsin \lambda) \right)^2 \right\rangle + \\ &+ \lambda^2 \left\langle \left( \sum_{n=0}^{\infty} \frac{1}{\sqrt{\pi p_F (nD + d)}} \cos(2n p_F D + 2p_F d - \pi/4 + \arcsin \lambda) \right)^2 \right\rangle + \\ &+ \lambda^2 \left\langle \left( \sum_{n=1}^{\infty} \frac{1}{\sqrt{\pi p_F (nD - d)}} \cos(2n p_F D - 2p_F d - \pi/4 + \arcsin \lambda) \right)^2 \right\rangle + \\ &+ 2\lambda^2 \left\langle \left( \sum_{n=0}^{\infty} \frac{1}{\sqrt{\pi p_F (nD + d)}} \cos(2n p_F D + 2p_F d - \pi/4 + \arcsin \lambda) \right) \cdot \right. \\ &\quad \left. \cdot \left( \sum_{n=1}^{\infty} \frac{1}{\sqrt{\pi p_F (nD - d)}} \cos(2n p_F D - 2p_F d - \pi/4 + \arcsin \lambda) \right) \right\rangle, \quad (95) \end{aligned}$$

$$\begin{aligned} \langle \text{Im}^2(\Lambda_\infty U) \rangle &= \lambda^2 \left\langle \left( \sum_{n=1}^{\infty} \frac{2}{\sqrt{\pi n p_F D}} \sin(2n p_F D - \pi/4 + \arcsin \lambda) \right)^2 \right\rangle + \\ &+ \lambda^2 \left\langle \left( \sum_{n=0}^{\infty} \frac{1}{\sqrt{\pi p_F (nD + d)}} \sin(2n p_F D + 2p_F d - \pi/4 + \arcsin \lambda) \right)^2 \right\rangle + \\ &+ \lambda^2 \left\langle \left( \sum_{n=1}^{\infty} \frac{1}{\sqrt{\pi p_F (nD - d)}} \sin(2n p_F D - 2p_F d - \pi/4 + \arcsin \lambda) \right)^2 \right\rangle + \\ &+ 2\lambda^2 \left\langle \left( \sum_{n=0}^{\infty} \frac{1}{\sqrt{\pi p_F (nD + d)}} \sin(2n p_F D + 2p_F d - \pi/4 + \arcsin \lambda) \right) \cdot \right. \\ &\quad \left. \cdot \left( \sum_{n=1}^{\infty} \frac{1}{\sqrt{\pi p_F (nD - d)}} \sin(2n p_F D - 2p_F d - \pi/4 + \arcsin \lambda) \right) \right\rangle. \quad (96) \end{aligned}$$

Покажем, как вычисляется среднее вида:

$$\left\langle \left( \sum_{n=0}^{\infty} a_n \cos(A_n + \varphi) \right)^2 \right\rangle. \quad (97)$$



$$\begin{aligned}
& \left\langle \left( \sum_{n=0}^{\infty} a_n \cos(A_n + \varphi) \right)^2 \right\rangle = \left\langle \sum_{n,k=0}^{\infty} a_n a_k \cos(A_n + \varphi) \cos(A_k + \varphi) \right\rangle = \\
& = \frac{1}{2} \sum_{n,k=0}^{\infty} a_n a_k \cos(A_n - A_k) = \frac{1}{4} \sum_{n,k=0}^{\infty} a_n a_k e^{i(A_n - A_k)} + \frac{1}{4} \sum_{n,k=0}^{\infty} a_n a_k e^{i(A_k - A_n)} = \\
& = \frac{1}{2} \left| \sum_{n=0}^{\infty} a_n e^{iA_n} \right|^2. \tag{98}
\end{aligned}$$

Т. о., получаем выражения для  $\langle \text{Im}^2(\Lambda_\infty U) \rangle$ ,  $\langle \text{Re}^2(\Lambda_\infty U) \rangle$ :

$$\begin{aligned}
\langle \text{Re}^2(\Lambda_\infty U) \rangle &= \lambda^2 \left( \sum_{n=1}^{\infty} \frac{2}{\sqrt{\pi n p_F D}} \cos(2n p_F D - \pi/4 + \arcsin \lambda) \right)^2 + \\
&+ \frac{\lambda^2}{2\pi p_F D} \left( \left| \sum_{n=0}^{\infty} \frac{e^{2ip_F D n - i\pi/4}}{\sqrt{n+1/2}} \right|^2 + \left| \sum_{n=1}^{\infty} \frac{e^{2ip_F D n - i\pi/4}}{\sqrt{n-1/2}} \right|^2 \right) + \\
&+ \frac{\lambda^2 e^{2i \arcsin \lambda}}{4\pi p_F D} \left( \sum_{n=0}^{\infty} \frac{e^{2ip_F D n - i\pi/4}}{\sqrt{n+1/2}} \right) \left( \sum_{n=1}^{\infty} \frac{e^{2ip_F D n - i\pi/4}}{\sqrt{n-1/2}} \right) + \\
&+ \frac{\lambda^2 e^{-2i \arcsin \lambda}}{4\pi p_F D} \left( \sum_{n=0}^{\infty} \frac{e^{-2ip_F D n + i\pi/4}}{\sqrt{n+1/2}} \right) \left( \sum_{n=1}^{\infty} \frac{e^{-2ip_F D n + i\pi/4}}{\sqrt{n-1/2}} \right), \tag{99}
\end{aligned}$$

$$\begin{aligned}
\langle \text{Im}^2(\Lambda_\infty U) \rangle &= \lambda^2 \left( \sum_{n=1}^{\infty} \frac{2}{\sqrt{\pi n p_F D}} \sin(2n p_F D - \pi/4 + \arcsin \lambda) \right)^2 + \\
&+ \frac{\lambda^2}{2\pi p_F D} \left( \left| \sum_{n=0}^{\infty} \frac{e^{2ip_F D n - i\pi/4}}{\sqrt{n+1/2}} \right|^2 + \left| \sum_{n=1}^{\infty} \frac{e^{2ip_F D n - i\pi/4}}{\sqrt{n-1/2}} \right|^2 \right) - \\
&- \frac{\lambda^2 e^{2i \arcsin \lambda}}{4\pi p_F D} \left( \sum_{n=0}^{\infty} \frac{e^{2ip_F D n - i\pi/4}}{\sqrt{n+1/2}} \right) \left( \sum_{n=1}^{\infty} \frac{e^{2ip_F D n - i\pi/4}}{\sqrt{n-1/2}} \right) - \\
&- \frac{\lambda^2 e^{-2i \arcsin \lambda}}{4\pi p_F D} \left( \sum_{n=0}^{\infty} \frac{e^{-2ip_F D n + i\pi/4}}{\sqrt{n+1/2}} \right) \left( \sum_{n=1}^{\infty} \frac{e^{-2ip_F D n + i\pi/4}}{\sqrt{n-1/2}} \right). \tag{100}
\end{aligned}$$

Осталось усреднить выражение  $-2\Delta_1(d)\text{Im}\{\Lambda_\infty U\}$ .

Подставляя явные выражения для  $\Delta_1$  и  $\text{Im}\{\Lambda_\infty U\}$ , получим:

$$\begin{aligned}
\langle -2\Delta_1(d)\text{Im}\{\Lambda_\infty U\} \rangle &= -\frac{2\lambda}{\pi p_F D} \left( \lambda \left| \sum_{n=0}^{\infty} \frac{e^{2ip_F D n - i\pi/4}}{\sqrt{n+1/2}} \right|^2 + \right. \\
&+ \left. \text{Im} \left( \left( \sum_{k=0}^{\infty} \frac{e^{2ip_F D k - i\pi/4}}{\sqrt{k+1/2}} \right) \left( \sum_{n=1}^{\infty} \frac{e^{2ip_F D n - i\pi/4}}{\sqrt{n+1/2}} \right) e^{i \arcsin \lambda} \right) \right). \tag{101}
\end{aligned}$$

Рассмотрим случай  $p_F D \rightarrow \pi N + 0$ :

$$\langle \text{Im}^2 (\Lambda_\infty U) \rangle \approx \frac{\lambda^2(6\lambda^2 + 1)}{4p_F D(p_F D - \pi N)}, \quad (102)$$

$$\langle \text{Re}^2 (\Lambda_\infty U) \rangle \approx \frac{\lambda^2(7 - 6\lambda^2)}{4p_F D(p_F D - \pi N)}, \quad (103)$$

$$\langle \text{Im} (\Lambda_\infty U) \rangle \approx -\sqrt{\frac{2}{p_F D}} \frac{\lambda^2}{\sqrt{p_F D - \pi N}}, \quad (104)$$

$$\langle -2\Delta_1(d)\text{Im}\{\Lambda_\infty U\} \rangle = \frac{\lambda}{p_F D(p_F D - \pi N)} \left( \sqrt{1 - \lambda^2} - \lambda \right). \quad (105)$$

В случае  $p_F D \rightarrow \pi N - 0$  имеем:

$$\langle \text{Re}^2 (\Lambda_\infty U) \rangle \approx \frac{3\lambda^2(1 + 2\lambda^2)}{4p_F D(\pi N - p_F D)}, \quad (106)$$

$$\langle \text{Im}^2 (\Lambda_\infty U) \rangle \approx \frac{3\lambda^2(3 - 2\lambda^2)}{4p_F D(\pi N - p_F D)}. \quad (107)$$

Т. к. в этом случае у  $\Delta$  нет особенности, то, найдя  $\langle \text{Im} (\Lambda_\infty U) \rangle \approx -\sqrt{\frac{2}{p_F D}} \frac{\lambda\sqrt{1-\lambda^2}}{\sqrt{\pi N - p_F D}}$  и  $\langle -2\Delta_1(d)\text{Im}\{\Lambda_\infty U\} \rangle = -\frac{\lambda}{p_F D(\pi N - p_F D)} (\sqrt{1 - \lambda^2} + \lambda)$ , получаем:

$$\left. \frac{\delta\rho}{\rho} \right|_{\text{Non-Born}} \approx \frac{5\lambda^2 - 6\lambda^4 - \lambda\sqrt{1 - \lambda^2}}{p_F D(\pi N - p_F D)}. \quad (108)$$

## Список литературы

- [1] A. S. Ioselevich. *Oscillations of magnetoresistance in a clean hollow cylinder with fluctuating radius*. Письма в ЖЭТФ, 101 (5), 390-395 (2015) [JETP Letters, 101(5), 358-363 (2015)].
- [2] Л. С. Левитов, А. В. Шитов. *Функции Грина: задачи и решения*.  
Издательство МЦНМО, Москва, 2016.
- [3] J. Zittartz and J. S. Langer. *Theory of bound states in a random potential*. Phys. Rev. 148, 741 (1966).
- [4] А. А. Гуцалюк. *Осцилляции магнитосопротивления в тонких висмутовых проволоках*. Выпускная квалификационная работа магистра (2015).
- [5] А. А. Абрикосов, Л. П. Горьков, И. Е. Дзялошинский. *Методы квантовой теории поля в статистической физике*. М., Физматгиз, 1962.
- [6] H. Shiba. *Classical spins in superconductors*. Prog. Theor. Phys. (1968) 40 (3): 435-451.
- [7] L. Yu. *Bound state in superconductors with paramagnetic impurities*. Acta Phys. Sin. 21, 75 (1965).
- [8] A. I. Rusinov. *On the theory of gapless superconductivity in alloys containing paramagnetic impurities*. Sov. Phys. JETP 29, 11016 (1969).
- [9] A. V. Balatsky, I. Vekhter, and J.-X. Zhu. *Impurity-induced states in conventional and unconventional superconductors*. Rev. Mod. Phys. 78, 373 (2006).